

ВЛИЯНИЯ УПРАВЛЯЕМЫХ ВИБРАЦИЙ НА ГИДРОДИНАМИКУ И ТЕПЛОПЕРЕНОС ПРИ РОСТЕ КРИСТАЛЛОВ МЕТОДОМ ЧОХРАЛЬСКОГО

Федюшкин А.И.

Институт проблем механики им. А.Ю. Ишлинского РАН,

В данной работе приведены результаты исследования гидродинамики и теплопереноса при выращивании монокристаллов методом Чохральского с погруженным вибратором. Математическое моделирование основано на численном решении уравнений Навье-Стокса и уравнений конвективного переноса тепла (1). При моделировании использовались различные численные методы и комплексы программ, которые описаны в работе [1].

1. Постановка задачи и математическая модель

В методе Чохральского тепловая конфигурация соответствует неустойчивому распределению температуры: холодный фронт кристаллизации расположен над расплавом. В данной работе рассматривается упрощенная двумерная плоская модель выращивания кристаллов методом Чохральского, движение кристалла и вращения кристалла и тигля не рассматриваются, предполагается, что погруженный вибратор либо кристалл совершают колебательные движения по закону: $y = A \cdot \cos(2\pi ft)$, с частотой f и малой амплитудой A ($A=100 \mu\text{m}$ либо $A=400 \mu\text{m}$). На рис. 1а) показана схема расчетной области (размер области: 3×3 см, диаметр кристалла равен 1 см). На рис. 1б), в) показаны изотермы при теплопроводностном режиме (без вибраций и без конвекций) для конфигурации без и с погруженным вибратором ($Pr=7$, $h/d=0.5$).

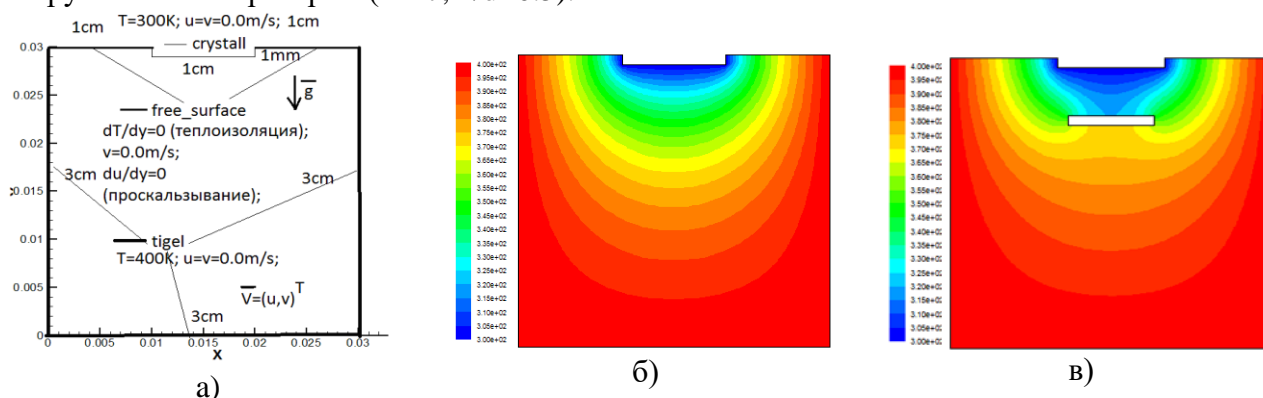


Рис. 1. а) – схема расчётной области с граничными условиями, б), в) - изотермы при теплопроводностном режиме (б), в) схема с погруженным вибратором $h/d=0.5$

Моделирование основано на решении системы уравнений Навье-Стокса в приближении Буссинеска и уравнения переноса температуры:

$$\frac{\partial \mathbf{V}}{\partial t} + (\mathbf{V}\nabla)\mathbf{V} = -\frac{\nabla P}{\rho} + \nu \Delta \mathbf{V} + \beta T \mathbf{g}, \quad \text{div} \mathbf{V} = 0, \quad \frac{\partial T}{\partial t} + (\mathbf{V}\nabla)T = a \Delta T \quad (1)$$

где \mathbf{V} – вектор скорости; P – давление; ρ – плотность; T – температура; \mathbf{g} – вектор ускорения свободного падения; a , ν – коэффициенты теплопроводности и

кинематической вязкости; β - коэффициент линейного температурного расширения. Для скорости на всех твердых границах ставится условие прилипания: $V = 0$, на свободной границе отсутствие трения, а при наличии конвекции Марангони, условие Марангони (см. п. 2.1). Для температуры ставятся такие условия: тигель имеет постоянную температуру в $T=400\text{K}$, кристалл (расположенный сверху) имеет температуру в $T=300\text{K}$, на свободной поверхности задано условие теплоизоляции $\frac{\partial T}{\partial y} = \frac{\partial T}{\partial n} = 0$, где n внешняя нормаль. В

начальный момент жидкость предполагается неподвижной с постоянной температурой. Данная задача характеризуется следующими безразмерными числами Прандтля ($Pr = \nu/a$), Грасгофа ($Gr = g\beta\Delta TH^3/\nu^2$ или Рэлея $Ra = Gr \cdot Pr$) и Марангони $Ma = (-d\sigma/dT) \cdot ((\rho c_p \Delta TH)/(\mu\lambda))$, где λ коэффициент теплопроводности. При

рассмотрении модели с погруженным в расплав вибратором, совершающим вертикальные колебания с амплитудой $A = 0.4\text{ мм}$ и частотой $f = 20\text{ Гц}$ в соответствии с законом: $y = A \sin(2\pi f t)$ (рис.2), список безразмерных параметров дополняется безразмерными

параметрами: вибрационным числом Рейнольдса $Re_{vibr} = 2\pi f A H / \nu$ и отношением расстояния от кристалла до вибратора к диаметру кристалла (h/d) и размерами вибратора. Расчётная область представляет собой квадрат со стороной 3см. Кристалл имеет диаметр 1см и заглублён в расплав на глубину 1мм, вибратор имеет диаметр 0.8см и толщину 1мм и удаления поверхности вибратора от поверхности кристалла на 5мм, 8мм и 13.5мм (рис.1). В расчетах использовались неравномерные сетки со сгущением вблизи твёрдых стенок и на острых кромках вибратора и кристалла. Для моделирования движения погруженного вибратора использовалась динамическая сетка. Осреднённое вибрационное течение (ОВТ) находилось в процессе осреднения по времени численных решений (Φ) нелинейных

уравнений Навье-Стокса по формуле $\Phi_{AVERAGE} = \frac{1}{\Delta T} \int_0^{\Delta T} \Phi dt$. Анализ осреднений результатов

расчетов показал, что участок осреднения поля температуры зависит от числа Прандтля и, например, для $Pr=7$ должен быть не менее $400T_f$, где $T_f=1/f$ - период вибраций. Одной из трудностей численного моделирования ОВТ с большой частотой является необходимость проводить расчеты с небольшим шагом по времени (не более 0.01 периода колебаний), что

требует больших машинных временных затрат. Число Куранта $C = \frac{2\pi f A \Delta t}{h_1}$ и сеточное

число Рейнольдса $Re_c = \frac{2\pi f A h_1}{\nu}$ были около 1. При расчётах использовались неявные

консервативные схемы. Численный расчет начинался с теплопроводностного режима и проводился до установления стационара в случае отсутствия вибраций или до квази-стационарного режима при вибрационном воздействии, где и анализировались результаты.

2. Результаты моделирования

2.1. Конвективные течения без вибрационного воздействия

Рассмотрим случаи естественной и термокапиллярной конвекции без вибраций и без погруженного вибратора. На рис. 2 показаны результаты расчётов в виде функции тока и изотермы для жидкости с числом Прандтля $Pr = 7$ для $Ra = 10^5$ (а,б) и $Ra = 10^6$ (в,г). Течение жидкости имеет подъемно-опускной характер с максимумом скорости на оси. Течение ламинарное и максимальные скорости пропорциональны числу Рэлея в степени $1/4$. Результаты расчетов показали, что значения числа Рейнольдса, вычисленные по максимальной скорости течения, для чисел Рэлея $Ra = 10^3, 10^4, 10^5, 10^6$, соответственно равны: 0.184, 3.016, 17.436, 66.58. На рис. 3 представлены профили теплового потока $\lambda \cdot (\partial T / \partial y)$ вдоль оси тигля для разных чисел Рэлея ($Ra = 0, 10^3, 10^4, 10^5, 10^6$), которые показывают, что с увеличением числа Рэлея увеличивается по модулю тепловой поток на фронте кристаллизации, то есть около кристалла толщина температурного пограничного слоя уменьшается.

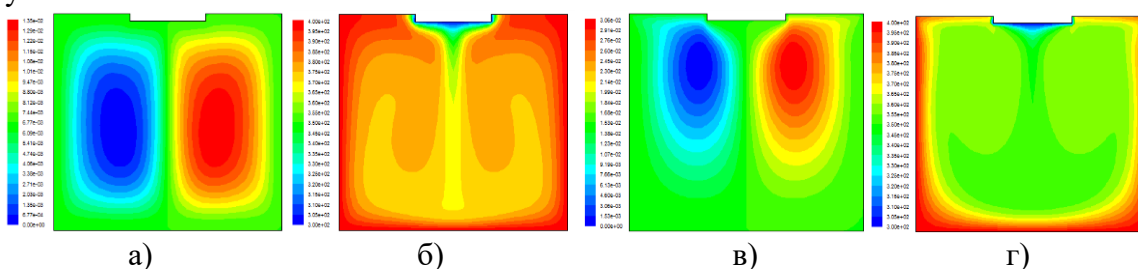


Рис. 2. Функция тока (а,в) и изотермы (б,г) при $Ra = 10^6, Ma = 0$ (а,б) и $Ra = 0, Ma = 10^5$ (в,г).

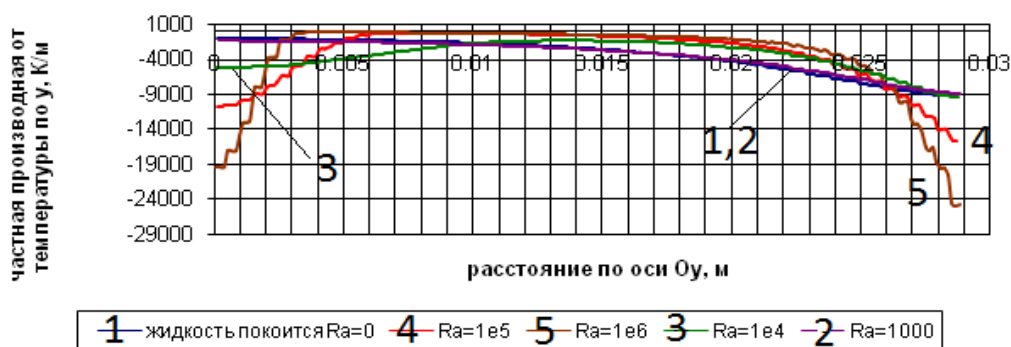


Рис. 3. Профили теплового потока вдоль оси тигля для разных чисел Рэлея (Ra).

Рассмотрим для описанной задачи, влияние термокапиллярной конвекции на течение жидкости и теплоперенос при отсутствии силы тяжести ($g=0$). Для описания термокапиллярной конвекции на горизонтальной свободной поверхности задано условие Марангони (зависимость касательного напряжения сдвига τ от градиента поверхностного натяжения σ):

$$\tau = \frac{d\sigma}{dT} \nabla_{\tau} T \quad \text{или} \quad \mu \frac{\partial u}{\partial y} = \frac{d\sigma}{dT} \cdot \frac{\partial T}{\partial x}, \quad v=0, \quad \text{где } \nabla_{\tau} T - \text{ проекция градиента температуры на касательную к свободной поверхности, } u - \text{ горизонтальная компонента скорости на горизонтальной свободной поверхности раздела сред. Данная задача}$$

температуры на касательную к свободной поверхности, u – горизонтальная компонента скорости на горизонтальной свободной поверхности раздела сред. Данная задача

характеризуется безразмерными числами Прандтля ($Pr=7$) и Марангони $Ma = (-d\sigma/dT) \cdot ((\rho c_p \Delta TH) / (\mu \lambda))$.

На рис.2в,г показаны функция тока и изотермы при $Ma = 10^5$ (а, б). При конвекции Марангони наблюдается подъемно-опускное течение с двумя согласованными вихрями, как и при тепловой конвекции, но более интенсивное, чем при таких же значениях числа Рэлея. Течение ламинарное и максимальные скорости пропорциональны числу Марангони в степени 1/2. Результаты расчетов показали, что значения числа Рейнольдса, вычисленные по максимальной скорости течения, для чисел Марангони 10, 10^2 , 10^3 , 10^4 , 10^5 , 10^6 , соответственно равны: 0.24, 2.47, 31.05, 189.29, 683.71, 2612.43. При естественной конвекции максимум модуля скорости достигается в центре расчётной области под кристаллом, в то время как при термокапиллярной конвекции максимум модуля скорости наблюдается вблизи свободной поверхности.

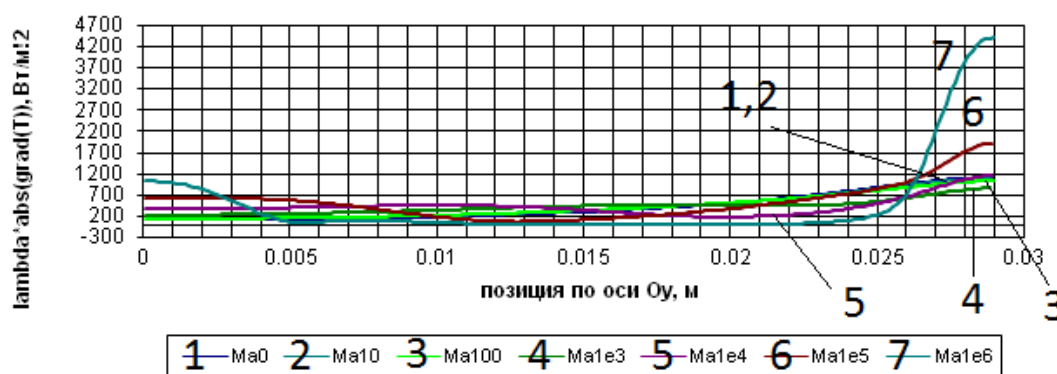


Рис. 4. Изменение числа Нуссельта ($\lambda \cdot \partial T / \partial y$) на вертикальной линии симметрии в зависимости от числа Марангони. (Кристалл расположен при $y=2.9$ см).

Профили потоков тепла вдоль оси тигля для разных чисел Марангони показаны на рис. 4. Для всех значений числа Марангони безразмерный тепловой поток (число Нуссельта) от числа Марангони в подкристалльной области возрастает по модулю с увеличением числа Ma . Температурный пограничный слой под кристаллом утончается с увеличением числа Марангони, что может оказывать влияние на скорость роста кристалла.

2.2. Течения с поступательными вибрационными воздействиями

2.2.1. Средние значения числа Прандтля ($Pr=7$)

Рассмотрим, описанную выше модель со следующими безразмерными параметрами: $Pr=7$, $Re_{vibr}=1500$, $Gr=0$, $h/d=0.5$, ($f=20$ Гц и амплитуде $A=0.4$ мм). Например, данная величина числа Прандтля соответствует расплаву нитрата натрия. На рис. 5 изображены результаты расчётов, в виде осредненных полей температуры, течения и профилей температуры.

Структуру осредненного течения представлена на рис. 5в. Видно, как вибрирующий погруженный активатор приводит к перемешиванию всего объёма расплава. На рис 5г представлены профили температуры, которые показывают влияние вибрации на температурный пограничный слой и градиент температуры вблизи фронта кристаллизации на примере расплава нитрата натрия ($Pr=7$; $Re_{vibr}=1500$; $h/d=0.5$):

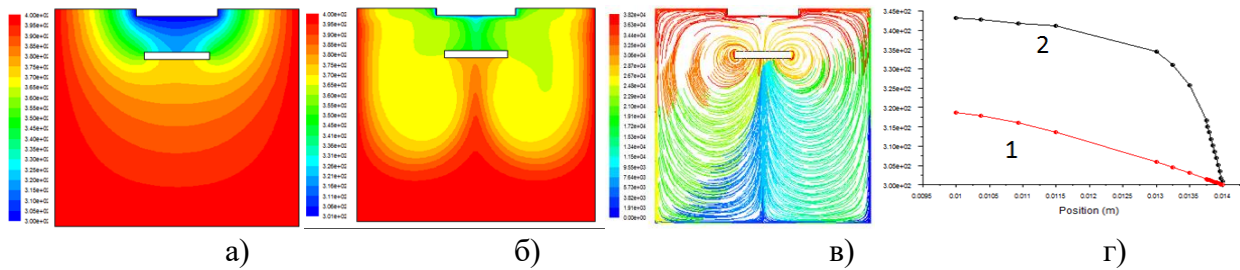


Рис. 5. Изотермы осреднённых полей температур и течения а) – без вибраций, б) с вибрациями в) треки течения, г) профили температуры в центральном вертикальном сечении: 1 - без вибраций, 2 - с вибрацией,

Рассмотрим влияние удалённости вибратора от поверхности кристалла на примере расплава нитрата натрия ($Pr=7$, $Re_{vibr}=1500$, $Gr=0$, $h/d=0.8$ и $h/d=0.5$). Из результатов, представленных на рис. 6 следует, что при вибрационном воздействии вблизи кристалла температурный пограничный слой уменьшается. Удаление вибратора от границы (от кристалла) на расстояние $h/d=0.8$ незначительно уменьшает градиент температуры около кристалла, по сравнению со случаем более близкого расположения вибратора ($h/d=0.5$) (рис.6в).

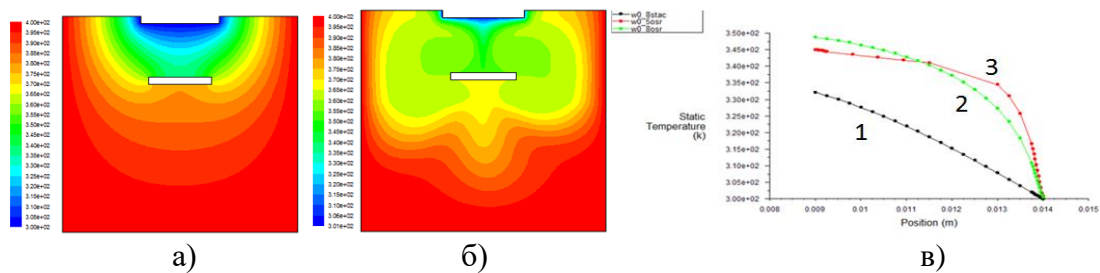


Рис. 6. Изотермы осреднённого поля температур при $Pr=7$, $Gr=0$, $h/d=0.8$, а) – без вибраций, б) с вибрациями $Re_{vibr}=1500$, в) профили температуры в центральном вертикальном сечении: 1 - без вибраций, 2 - с вибрацией ($Re_{vibr}=1500$, $h/d=0.8$), 3 - с вибрациями ($Re_{vibr}=1500$, $h/d=0.5$).

Рассмотрим случай совместных гармонических поступательных вибраций кристалла и погруженного вибратора с учетом конвекции. Вибрации кристалла и вибратора осуществляются по единому закону синхронно. Совместное действие вибрации кристалла и погруженного вибратора $Re_{vibr} = 1500$ без конвекции представлено на рис. 7а (без конвекций и вибраций на рис.1).

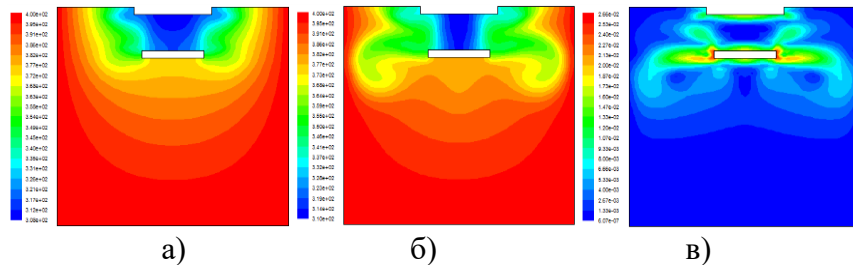


Рис. 7. Осреднённые поля температур (а,б) и модуля скорости (в) для $Pr=7$. а) - $Re_{vibr}=1500$, $Ra=0$, б), в) - $Re_{vibr} = 1500$, $Ra = 10^4$.

Совместное действие вибрации кристалла и погруженного вибратора при наличии естественной конвекции $Re_{vibr} = 1500$, $Ra = 10^4$, $Pr=7$ представлено на рис.7б,в. Из

результатов, представленных на рис.7 можно сделать вывод, что совместные синхронные вибрации кристалла и погруженного вибратора выравнивают температурное поле под кристаллом, а естественная конвекция способствует дополнительному уменьшению толщины температурного пограничного слоя, образованного только вибрациями.

2.2.2. Малые значения Прандтля ($Pr=0.1$)

Рассмотрим расплав металла со следующими безразмерными параметрами: $Pr=0.1$, $Re_{vibr}=1500$, $Gr=0$, $h/d=0.5$. Данные числа Прандтля могут соответствовать расплавам металлов и полупроводников. Варианты с конвекцией были рассчитаны, но из-за малого влияния конвекции по сравнению с вибрациями, результаты с конвекцией для данного случая не приводятся. Расстояние от кристалла до вибратора равно радиусу кристалла $h=0.5$ см. На рис.8, представлены осреднённые поля и профили (в) температуры без воздействия вибраций (а) и осреднённое поле температур (б) при вибрационном воздействии на квази-стационаре. Из-за малого числа Прандтля влияние вибраций на температурный пограничный слой незначительно (рис.8).

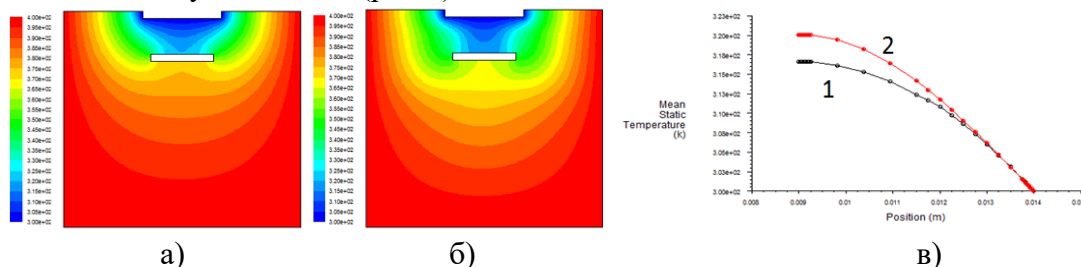


Рис. 8. Изотермы осреднённого поля температур при $Pr=0.1$, $Gr=0$, $h/d=0.5$, а) – без вибраций, б) с вибрациями ($Re_{vibr}=1500$), в) профили температуры в центральном вертикальном сечении: 1 - без вибраций, 2 - с вибрациями ($Re_{vibr}=1500$).

Из профилей температуры, изображенных на рис. 8в) следует, что в непосредственной близости от фронта кристаллизации влияние вибрации на поле температур незначительно. Это объясняется малым числом Прандтля у расплава металла $Pr=0.1$. Более сильное влияние вибраций на температурный пограничный слой расплавов металлов (полупроводников) с малыми числами Прандтля может сказываться при увеличении амплитуды и частоты вибраций (вибрационного числа Рейнольдса Re_{vibr}) [1].

2.2.3. Большие числа Прандтля ($Pr=100$)

Рассмотрим жидкость со следующими безразмерными параметрами: $Pr=100$, $Re_{vibr}=1500$, $Gr=0$, $h/d=0.5$. Данные числа Прандтля могут соответствовать расплавам оксидов.

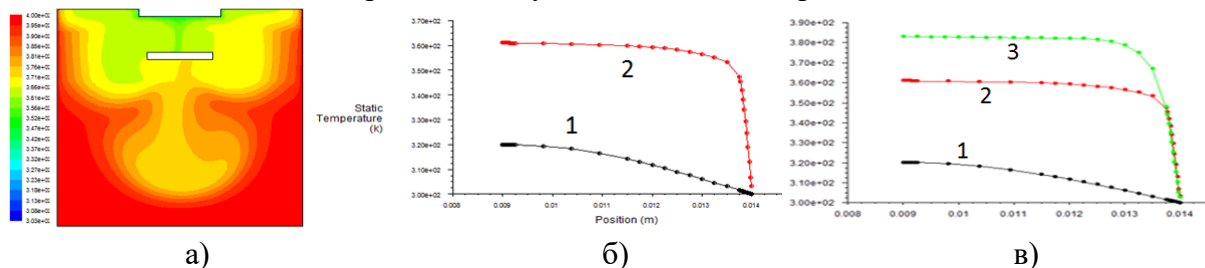


Рис. 9. а) Изотермы осреднённого поля температур при $Pr=100$, $Gr=0$, $h/d=0.5$, $Re_{vibr}=1500$, б) профили температуры в центральном вертикальном сечении: 1 - без вибраций, 2 - с вибрациями ($Re_{vibr}=1500$), в) профили температуры в центральном вертикальном сечении: 1 - без вибраций, 2 - с вибрациями при $h/d=0.5$, 3 - с вибрациями при $h/d=1.35$.

Из полученных результатов, представленных на рис.5-9 можно сделать вывод, что при вибрационном воздействии температурный пограничный слой уменьшается, и это проявляется тем сильнее, чем выше число Прандтля.

Результаты о влиянии удалённости вибратора от поверхности кристалла при $Pr=100$, $Re_{vibr}=1500$, $Gr=0$, $h/d=1.35$ и $h/d=0.5$ представлены на рис. 9в. Можно сделать вывод, что для жидкостей с $Pr=100$ изменение удаленности вибратора от кристалла оказывает меньшее влияние на тепловое поле около кристалла, чем изменение удалённости вибратора для жидкостей с $Pr=7$ (рис.6в).

Рассмотрим влияние естественной конвекции ($g \neq 0$) при $Pr=100$, На рис. 10а показаны осреднённое поле вертикальные профили температур полученные для $Pr=100$, $Re_{vibr}=1500$, $Gr=1000$, $h/d=0.5$, для времени $t=600T_f$. Проведены численные расчеты с учетом наличия естественной конвекции и без нее, с вибрациями и без вибраций. На рис. 10 б,в приведены профили температур для всех этих случаев. Результаты показывают, что естественная конвекция, также, как и вибрационное воздействие, способствует увеличению градиента температуры вблизи фронта кристаллизации.

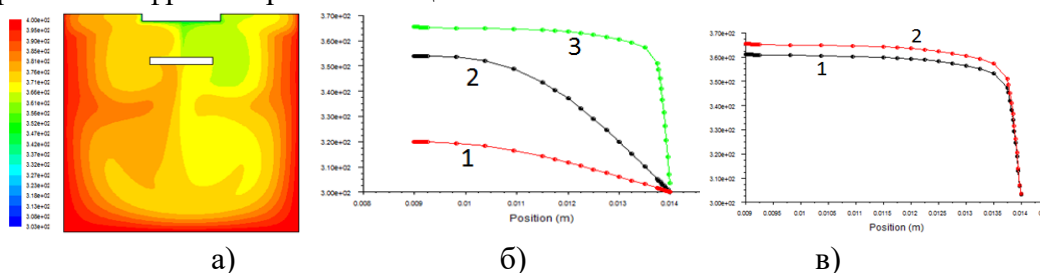


Рис. 10. Изотермы (а) и профили температуры (б,в) осреднённого поля температур при $Pr=100$, $Gr=1000$, $h/d=0.5$, $Re_{vibr}=1500$, б) профили температуры в центральном вертикальном сечении: 1 - без вибраций и конвекции ($Gr=0$, $Re_{vibr}=0$), 2 – только с конвекцией ($Gr=1000$, $Re_{vibr}=0$), 3- с вибрациями и конвекцией ($Gr=1000$, $Re_{vibr}=1500$), в) вертикальные профили температуры при вибрационном воздействии ($Re_{vibr}=1500$): 1 - без естественной конвекции ($Gr=0$), 2 - с естественной конвекцией ($Gr=1000$).

Следует отметить, что вибрационное воздействие ($Re_{vibr}=1500$) имеет более сильное влияние на уменьшение толщины температурного пограничного слоя, чем естественная конвекция ($Gr=1000$) (рис.10б). Из полученных результатов (рис.10в) можно сделать вывод, что вибрации являются доминирующим фактором, влияющим на пограничный слой вблизи фронта кристаллизации, а естественная конвекция при $Gr=1000$ практически не оказывает влияния на градиент температур около фронта кристаллизации.

2.3. Вращательно-качательные вибрации погруженной вибратора

Рассмотрим воздействия на расплав ($Pr=7$) вращательно-качательных вибраций при отклонении погруженного вибратора на малый угол вокруг оси перпендикулярной плоскости расчётной области и проходящей через точку пересечения диагоналей вибратора.

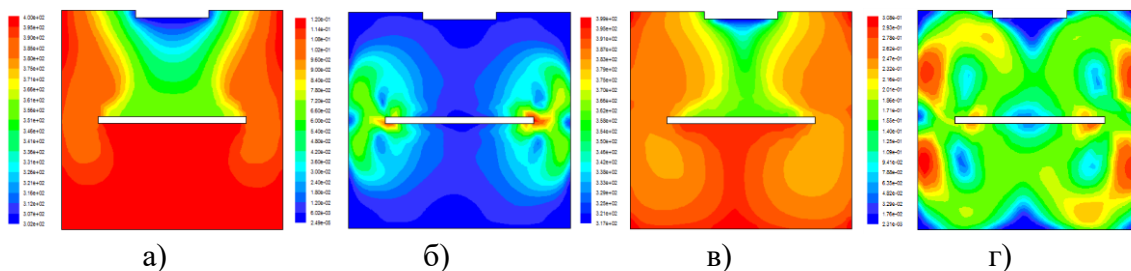


Рис. 11. Поля температур (а,в) и модулей скорости (б,г) при вращательно-качательных вибрациях ($Pr=7$, $\theta=20$ Гц) с амплитудами: $A=10$ градусов (а,б) и $A=25$ градусов (в,г).

Схема исследуемой области показана на рис 11. Вибратор диаметром 2 см, толщиной 1мм находится на расстоянии 1.45 см от поверхности кристалла по центру расчётной области. Вращательно-качательные совершаются на угол по гармоническому закону: $\varphi = A \cdot \sin(2\pi\theta \cdot t)$ с различными амплитудами A (радиан) и частотой $\theta=20$ Гц, где φ - угол отклонения вибратора от начального (горизонтального) положения изображённого на рис. 11. Данная задача дополняется безразмерным вибрационным числом Рейнольдса, определяемым в виде $Re_{vibr} = 2\pi\theta A H^2 / \nu$.

Результаты расчётов показали, что при вращательно-качательных вибрационных воздействиях в структуре осреднённого вибрационного течения образуется четыре вихря, которыми также можно изменять структуру течения и поле температур около фронта кристаллизации.

3. Выводы

Для модели метода Чохральского с погруженным вибратором, для разных свойств жидкостей показано уменьшение толщины пограничных слоев при вибрационном воздействии, что подтверждает общую закономерность данного факта [3-5]. Показано, что вращательно-качательные вибрации погруженной пластины, кроме интенсификации течения и перемешивания расплава, воздействуют на осредненное поле температуры и структуру пограничного слоя под кристаллом, что можно использовать в качестве управляющего механизма.

Литература

1. Федюшкин А.И. Гидродинамика и теплообмен при вибрационных воздействиях на расплав в процессах выращивания монокристаллов. / А.И. Федюшкин, К.А. Иванов. - Препринт ИПМех РАН, - № 1085, - Москва, 2014, -107 с.
2. Fedyushkin A. The influence of vibration on hydrodynamics and heat-mass transfer during crystal growth. / Fedyushkin A., Bourago N., Polezhaev V. and Zharikov E. // J. Crystal Growth. 2005. V. 275. - P. e1557-e1563.
3. Fedyushkin A. The gravitation, rotation and vibration - controlling factors of the convection and heat – mass transfer. // Proc. of 4th ICCHMT, Paris, FRANCE. 2005. - P.948-951.

Информация об авторе: Федюшкин Алексей Иванович – к.ф.-м.н, с.н.с., Институт проблем механики им. А.Ю. Ишлинского РАН, 119526, Москва, Россия, тел.:+7 (495) 4333497, E-mail fai@ipmnet.ru